



Identification de mélanges variétaux de blés durs : Grains et Feuilles

Martin Ecarnot¹, Pierre Roumet¹, Frédéric Compan¹



Mélanges variétaux Contexte

Modèle de cultures mono-génotypique remis en cause

Mélanges variétaux :

- stabilité des rendements
- adaptation aux variations climatiques
- amélioration de la résistance face aux bioagresseurs.



Identification variétale

Besoin : des méthodes non destructives permettant de différencier les composantes de mélanges variétaux

<u>1) En végétation</u>

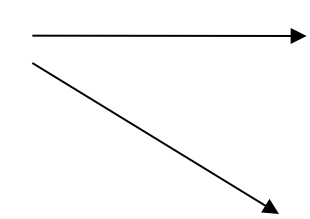




Étudier la dynamique de surface foliaire absolue et relative des composantes

2) Sur grains





1-a) Calculer la proportion des composantes du mélange

1-b) Séparer des lots de grains des différentes composantes pour avoir accès à des variables spécifiques (PMG par composante etc ...)

Identification variétale

Travaux antérieurs



Grains

An overview of the use of infrared spectroscopy and chemometrics in authenticity and traceability of cereals

D. Cozzolino *

Identification of Some Wheat Varieties by Near Infrared Reflectance Spectroscopy

Dominique Bertrand, Paul Robert and William Loisel^a

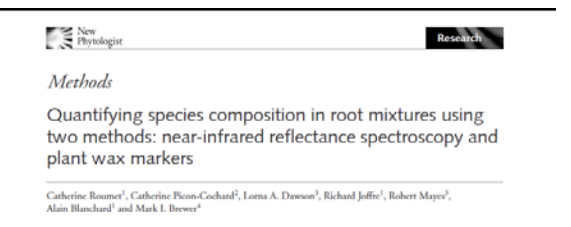
Classification of Hard Red Wheat by Near-Infrared Diffuse Reflectance Spectroscopy

STEPHEN R. DELWICHE¹ and KARL H. NORRIS²

ABSTRACT

real Chem. 70(1):29-3

Racines



Feuilles

Identification of grapevine varieties using leaf spectroscopy and partial least squares

Maria P. Diago a, A.M. Fernandes b.*, B. Millan J. Tardaguila P. Melo-Pinto b.c

*Instituto de Ciencias de la Vid y del Vino, University of La Rioja, CSIC, Gobierno de La Rioja, C/Madre de Dios, 51, 26006 Logroño, Spain
*CITAB-Centre for the Research and Technology of Agro-Environmental and Biological Sciences, Universidade de Trás-os-Montes e Alto Douro, Quinta de Prados,
5000-911 Vila Real, Portugal

Department of Engineering, Universidade de Trás-os-Montes e Alto Douro, Quinta de Prados, 5000-911 Vila Real, Portugal

Discrimination of European wheat varieties using near infrared reflectance spectroscopy

Carlos Miralbés*

Identification of wheat classes using wavelet features from near infrared hyperspectral images of bulk samples

R. Choudhary, S. Mahesh, J. Paliwal, D.S. Jayas*

Classification of sound and stained wheat grains using visible and near infrared hyperspectral image analysis

M. Berman, P.M. Connor, L.B. Whitbourn, D.A. Coward, B.G. Osbornec, and M.D. Southance





Analyses à différentes échelles

Lots de grains mélangés



Grains individuels



Objectifs:

Proportion dans un mélange récolté

Tri des grains mélangés



Identification grain par grain



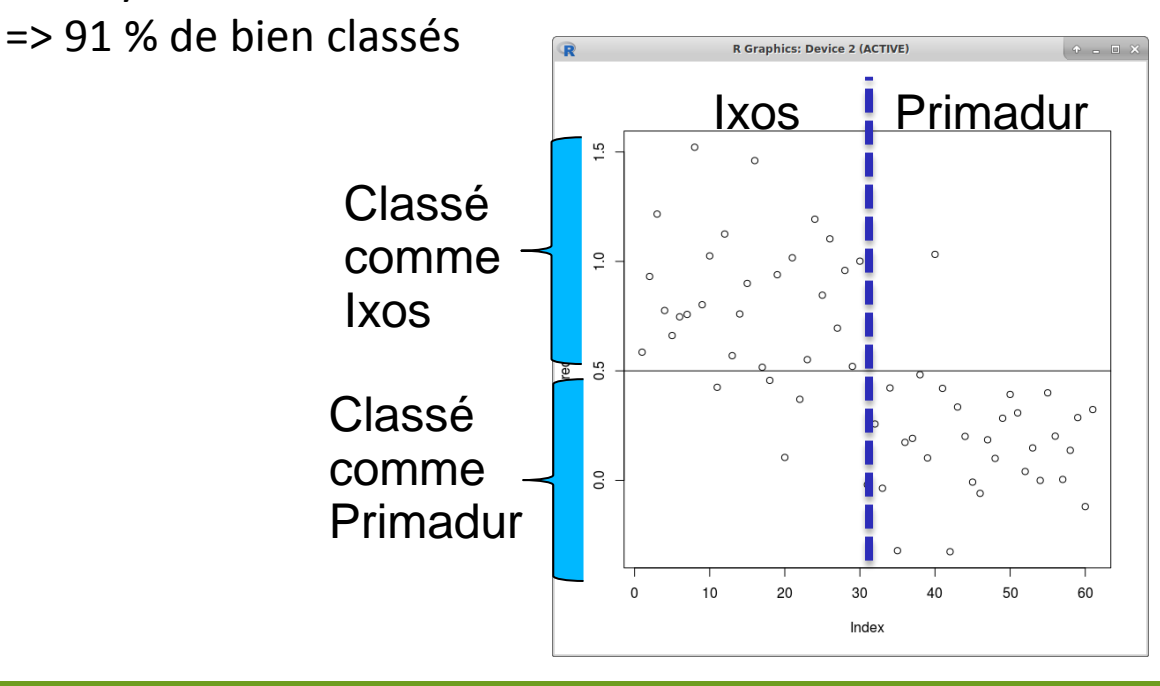
 \Box



<u>Spectromètre-Trieur Seedmeister</u> 850-1900 nm

Etalonnage:

- 30 grains Ixos; 30 grains Primadur
- Analyse discriminante PLS-DA CV-LOO



Identification grain par grain



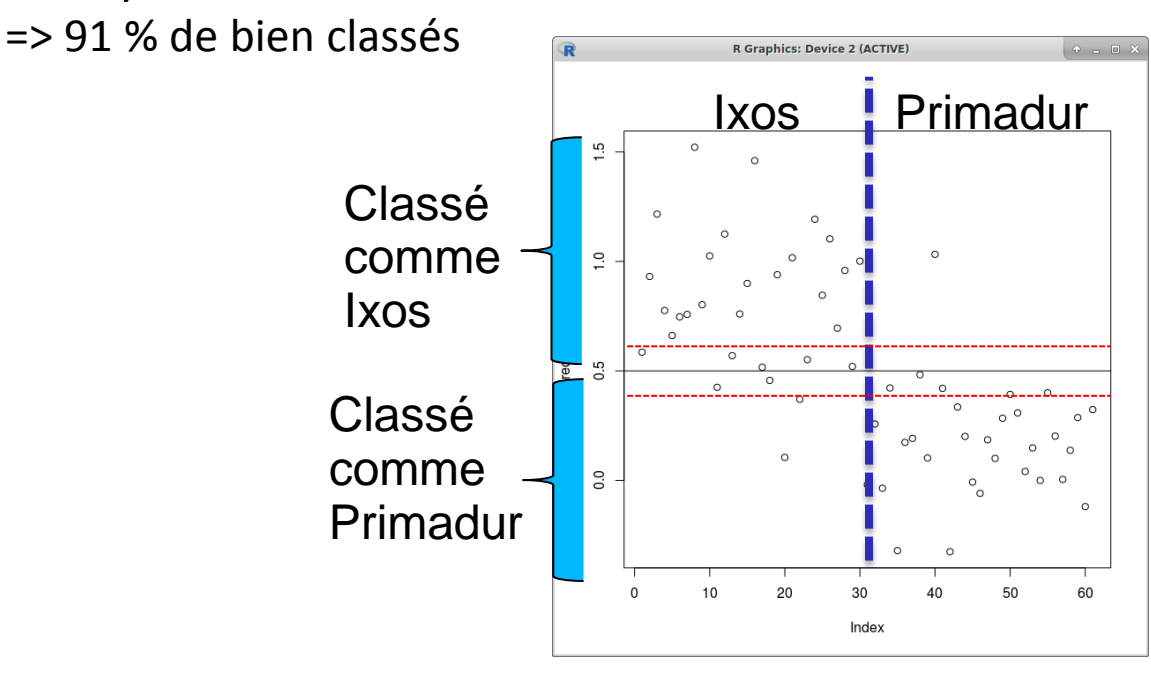
 \Box



<u>Spectromètre-Trieur Seedmeister</u> 850-1900 nm

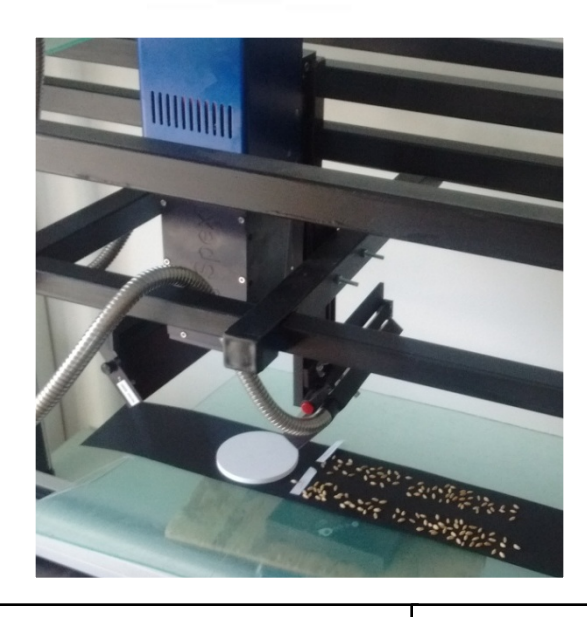
Etalonnage:

- 30 grains Ixos; 30 grains Primadur
- Analyse discriminante PLS-DA CV-LOO





Identification grain par grain



Imagerie hyperspectrale 400-1000 nm

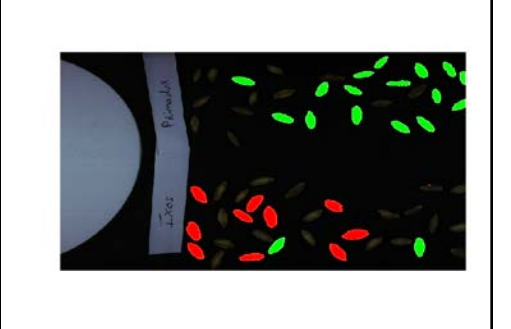
Etalonnage:

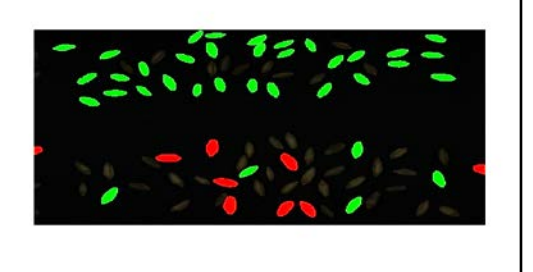
- 80 grains Ixos; 80 grains Primadur
- Tous les spectres (= pixels) d'un grain moyennés

Validation:

175 grains (Ixos et Primadur)

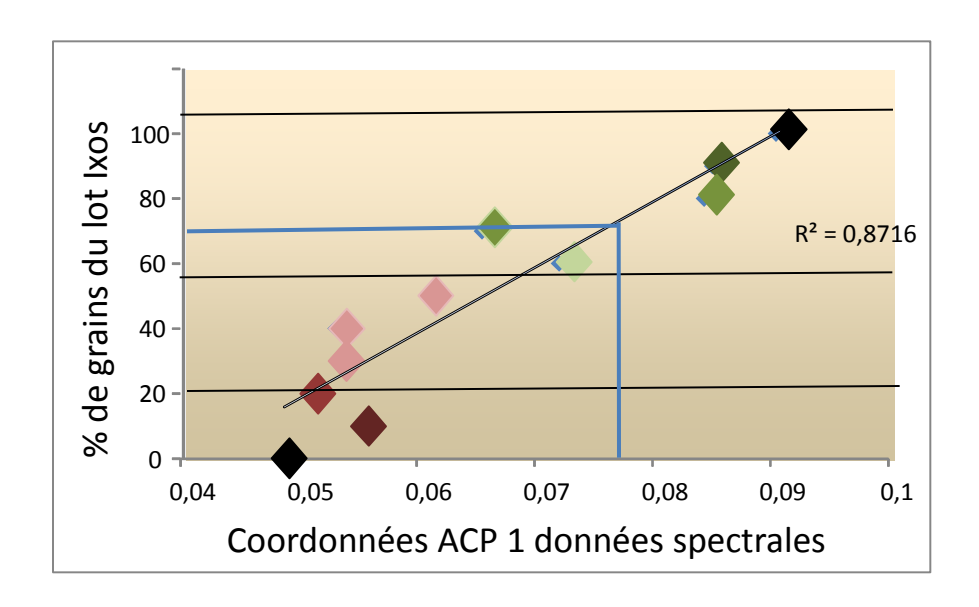
91% de bien classés





Lots de grains mélangés





- Mélange après récolte : 2 variétés Ixos-Primadur
- Gamme de proportions : 0-100%; 10-90% ; ...
- Prédiction de la proportion par les coordonnées sur la CP 1



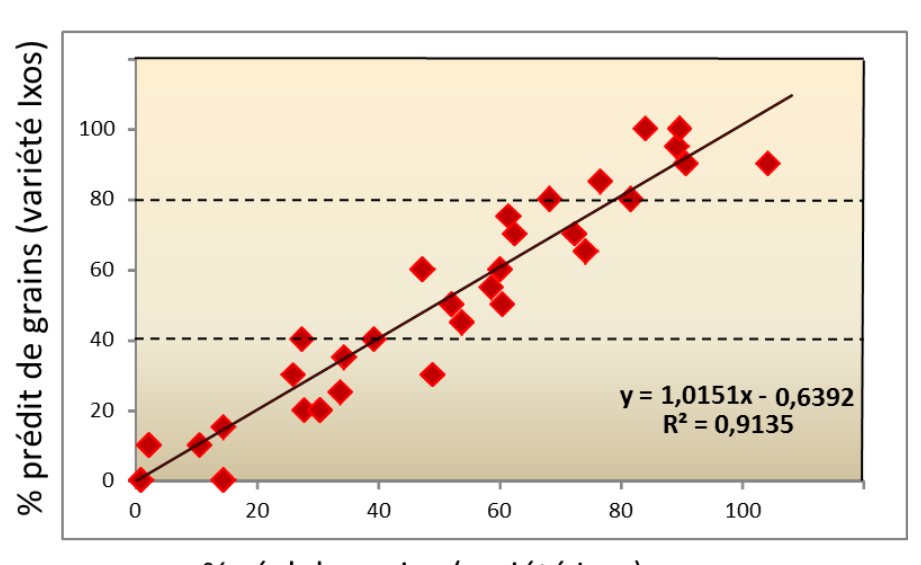
Lots de grains mélangés



Données 2015 & 2016

RMSECV = 4,56 %

- Mélange après récolte
- Gamme de proportions
- Prédiction de la proportion par PLS-R



% réel de grains (variété Ixos)



Lots de grains mélangés

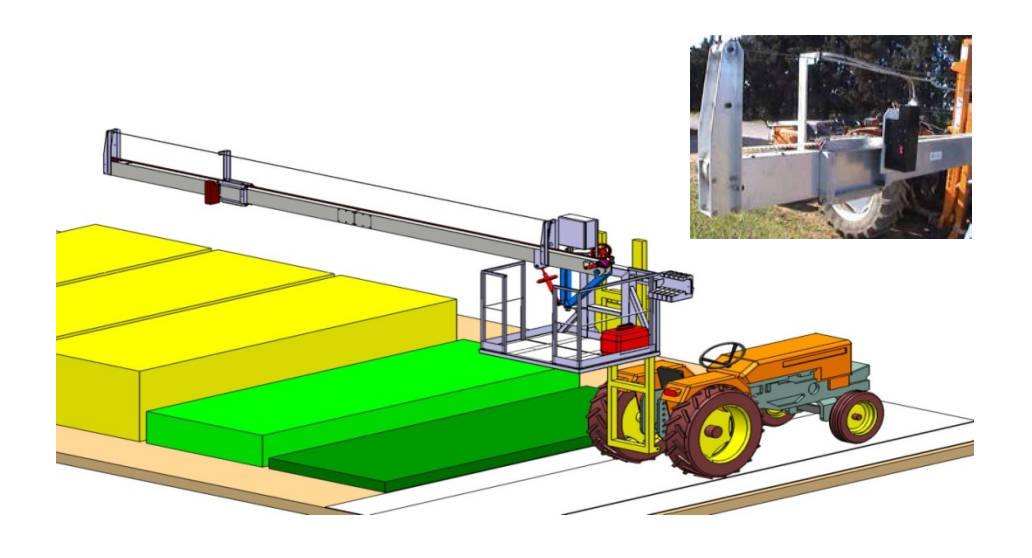


- Précision satisfaisante pour estimer la proportion d'un mélange
- Ne prend pas encore en compte la « plasticité phénotypique » du génotype en mélange
- Grains individuels: couplage de spectre NIR + analyse de forme (Multi-tableaux)



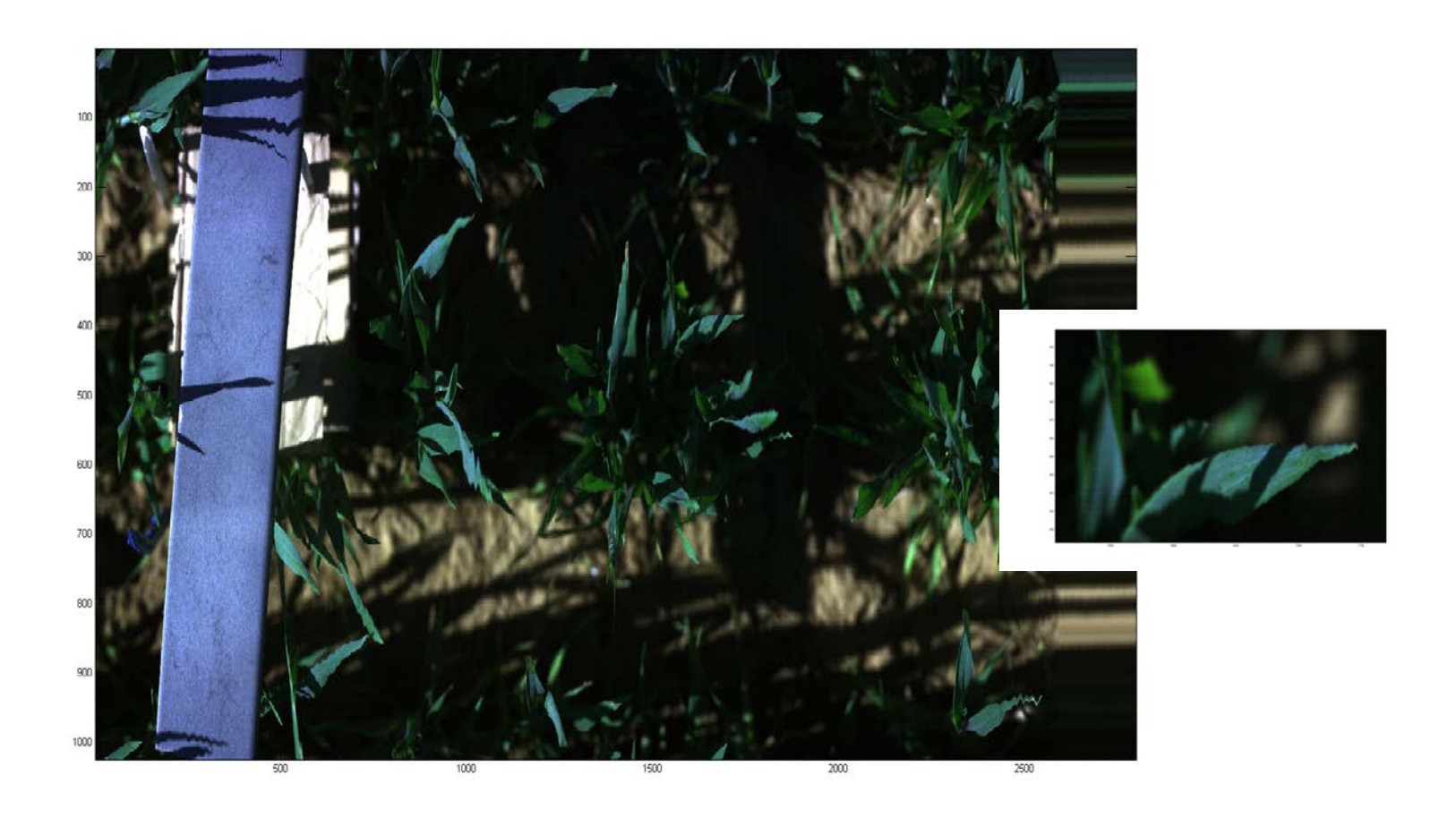
Imagerie Hyperspectrale

Dispositif expérimental

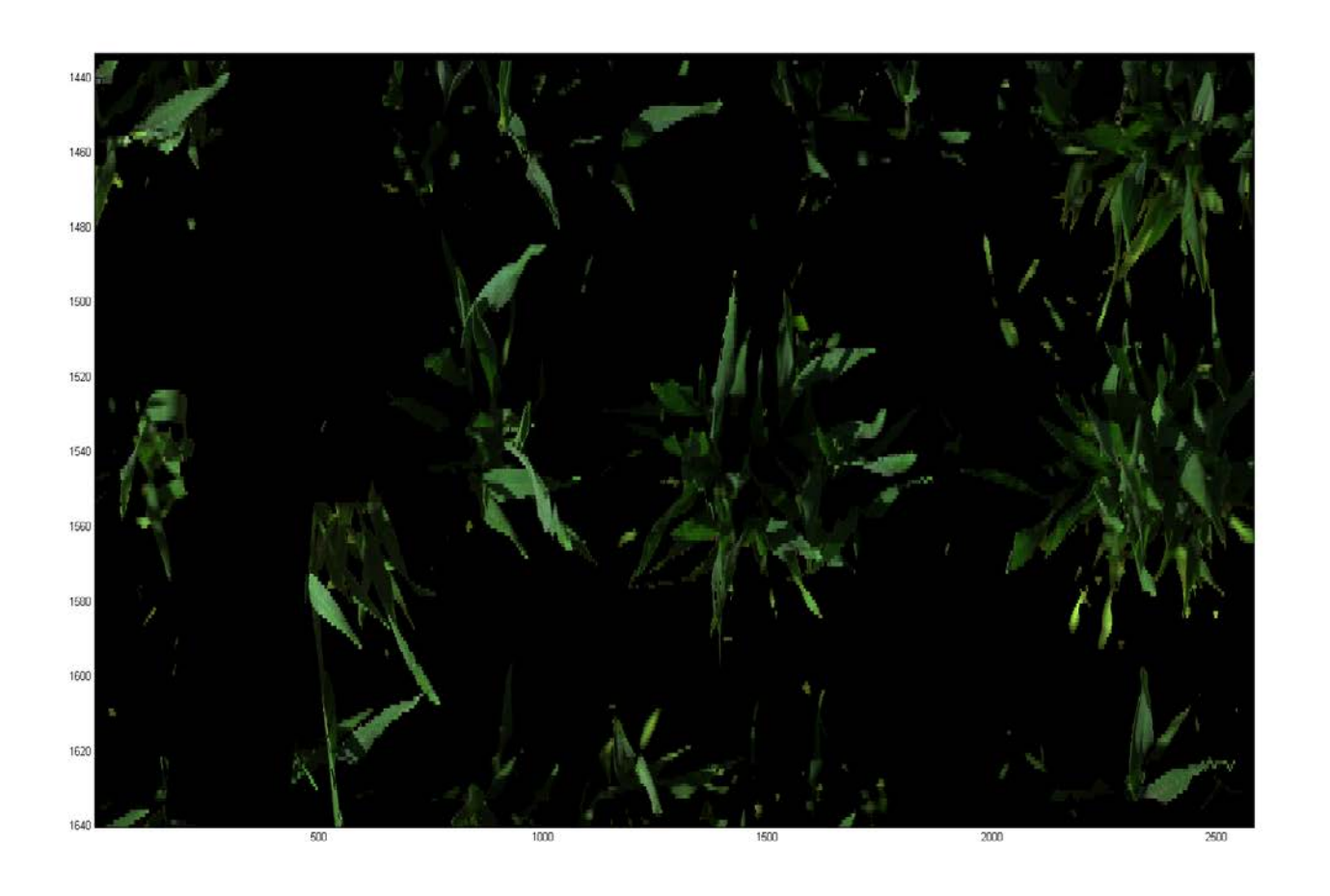


- 2 paires de variétés
 - CapHorn-Hysun
 - Ixos Primadur
- 3 années 2015-2016-2017
- Parcelles pures et mélanges
 50 % 50 %
- 2 répétitions
- Camera NEO VNIR
 - 400-1000nm
- Correction réflectance + SNV

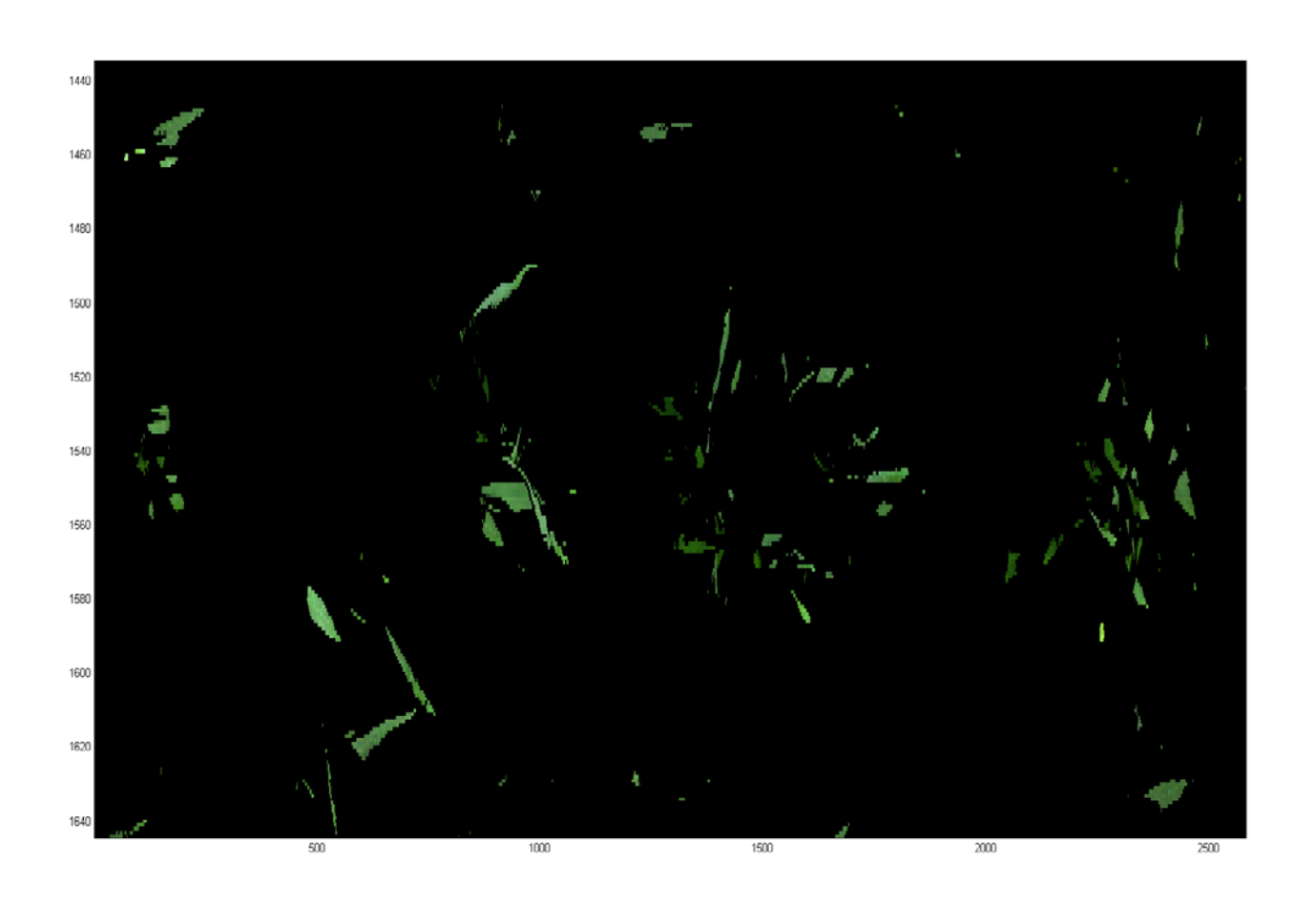




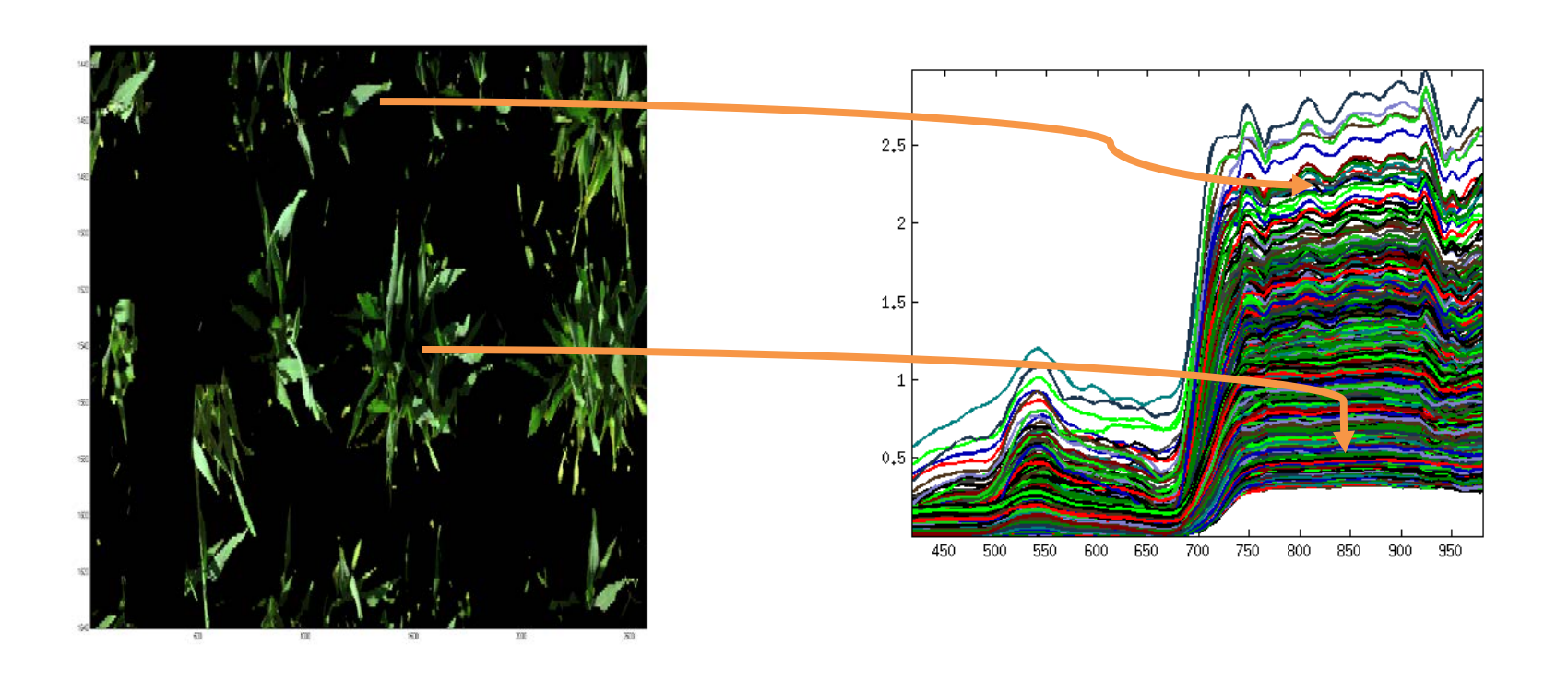








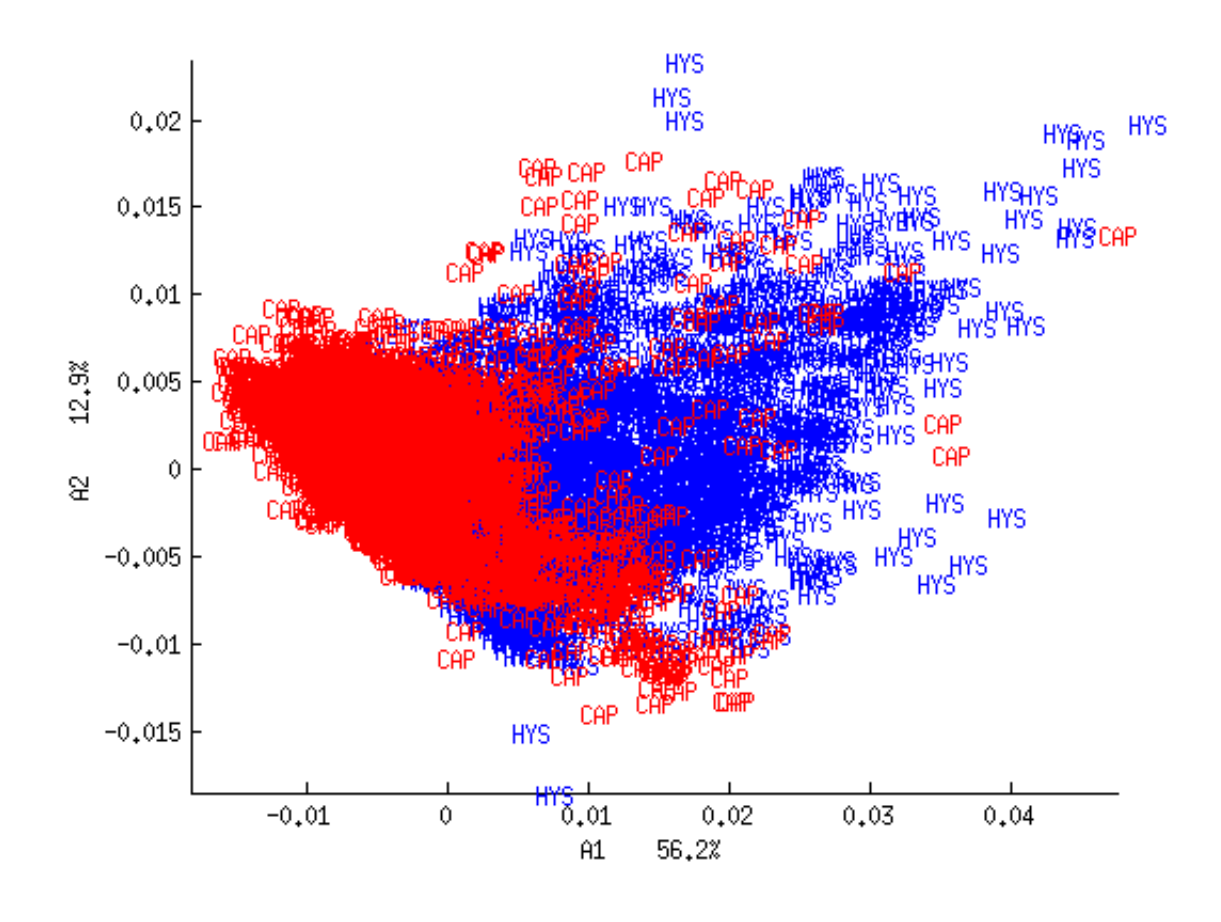






Imagerie Hyperspectrale

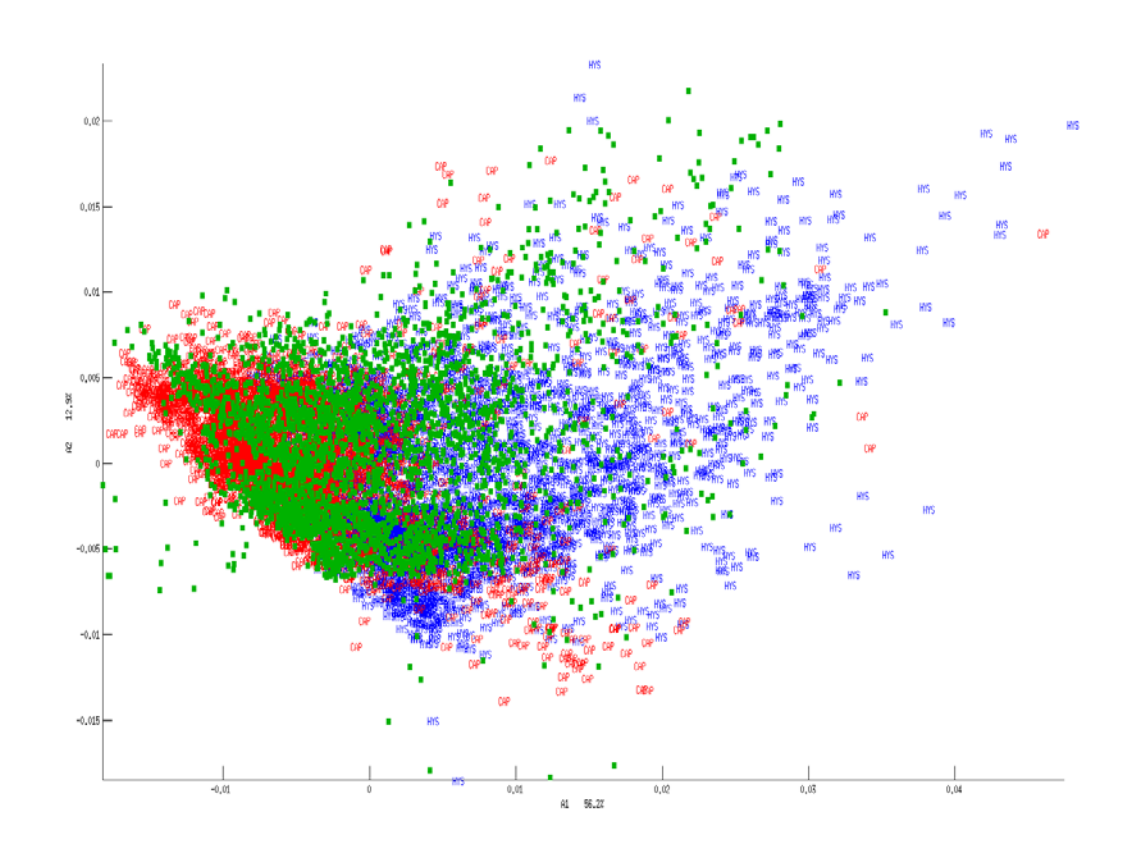
Répartition spectrale des pixels de feuilles





Imagerie Hyperspectrale

Répartition spectrale des pixels de feuilles





Discriminer les feuilles au champ Méthodologie

PLS-DA Barker, M., & Rayens, W. (2003).

Support Vector Machines (SVM) (Boser, Guyon & Vapnik; 1992)

Pour aller plus vite -> SVM sur scores PLS-DA



Discrimination de 2 variétés

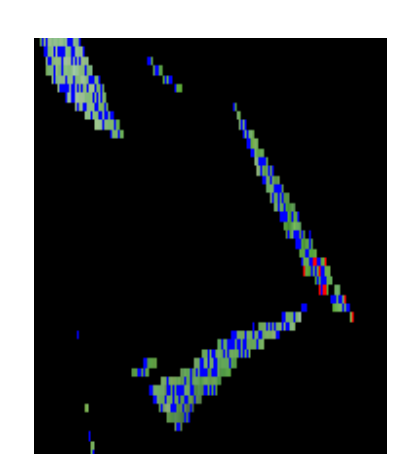


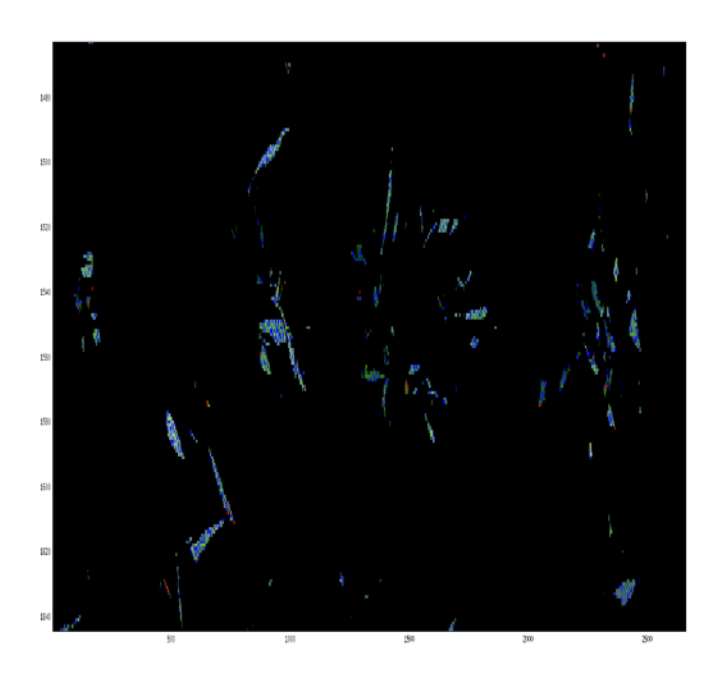
CapHorn et Hysun en cultures pures

Méthode 1:

Etalonnage : 1/2 des pixels de feuille sont tirés aléatoirement dans toute l'image

Application: 1/2 restant







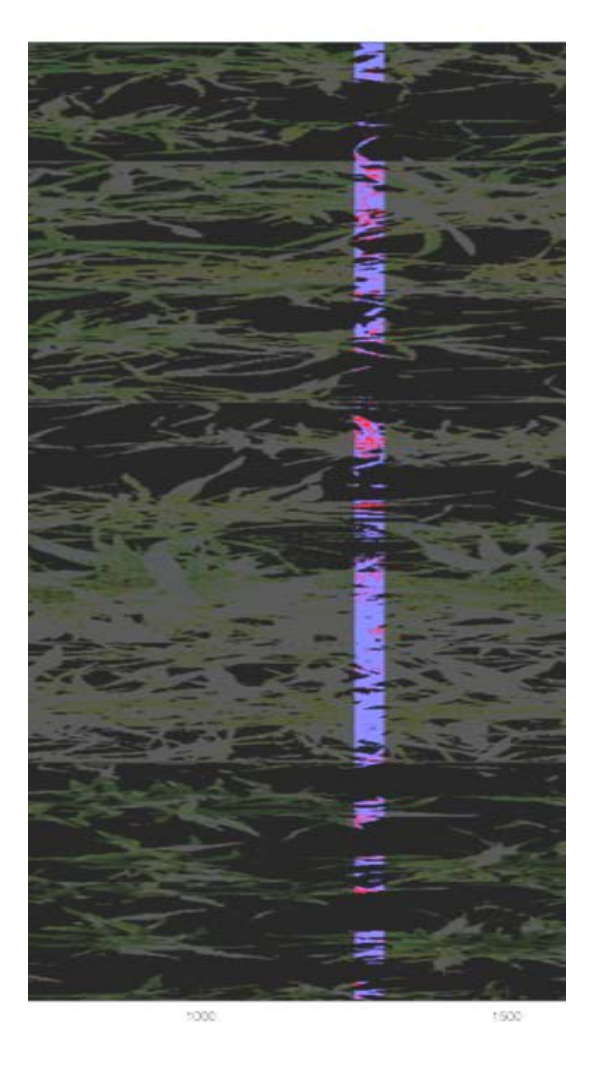
Discrimination de 2 variétés



Méthode 2:

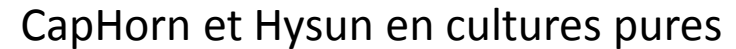
Etalonnage: Tout sauf une bande de l'image

Application: Une bande de l'image





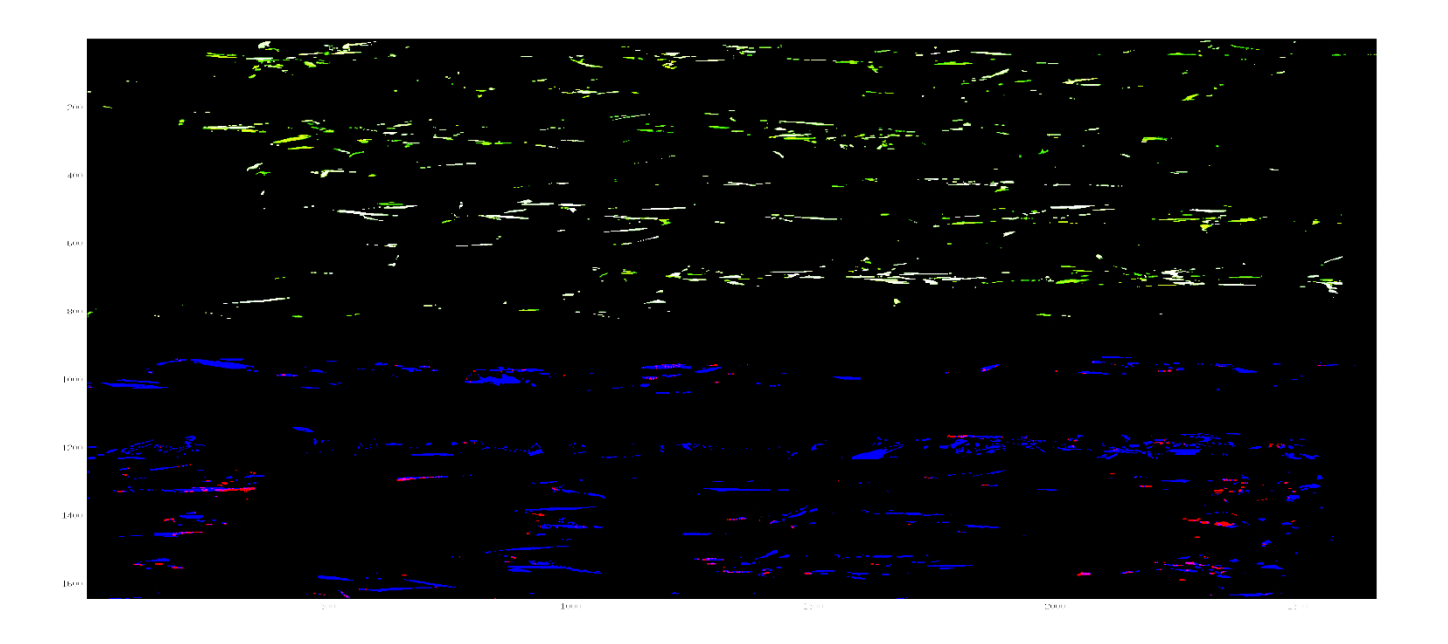
Discrimination de 2 variétés



Méthode 3:

Etalonnage : Sur une répétition

Application : Sur l'autre répétition

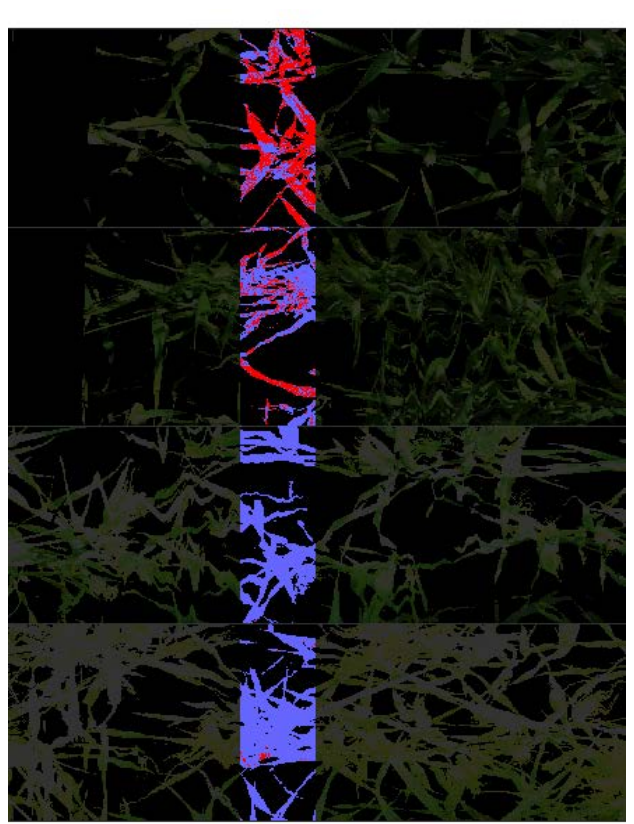




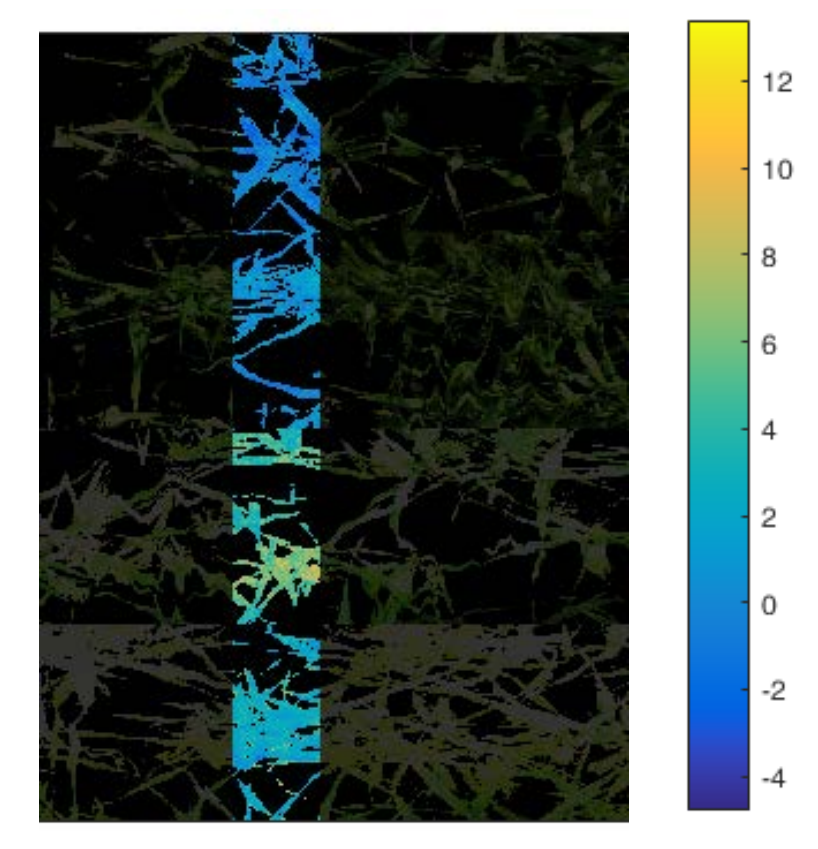
Discrimination de 2 variétés

Application de la discrimination

Prédiction de la classe



Prédiction de la distance à la frontière





Discrimination de 2 variétés

CapHorn et Hysun en cultures pures

100000 px/image (aléatoire)

| Date | Pourcentage de pixels bien classés | | |
|-------|------------------------------------|------|-------------|
| | M1 | M2 | M3 |
| 10/03 | 78.9 | 67.7 | 55.6 |
| 02/04 | 80.6 | 73.7 | 48.8 |
| 30/04 | 85.7 | 82.4 | 52.1 |

3 dates de mesure (2015):

10 mars (Epi 1 cm)



02 avril (Montaison)



30 avril (épiaison)

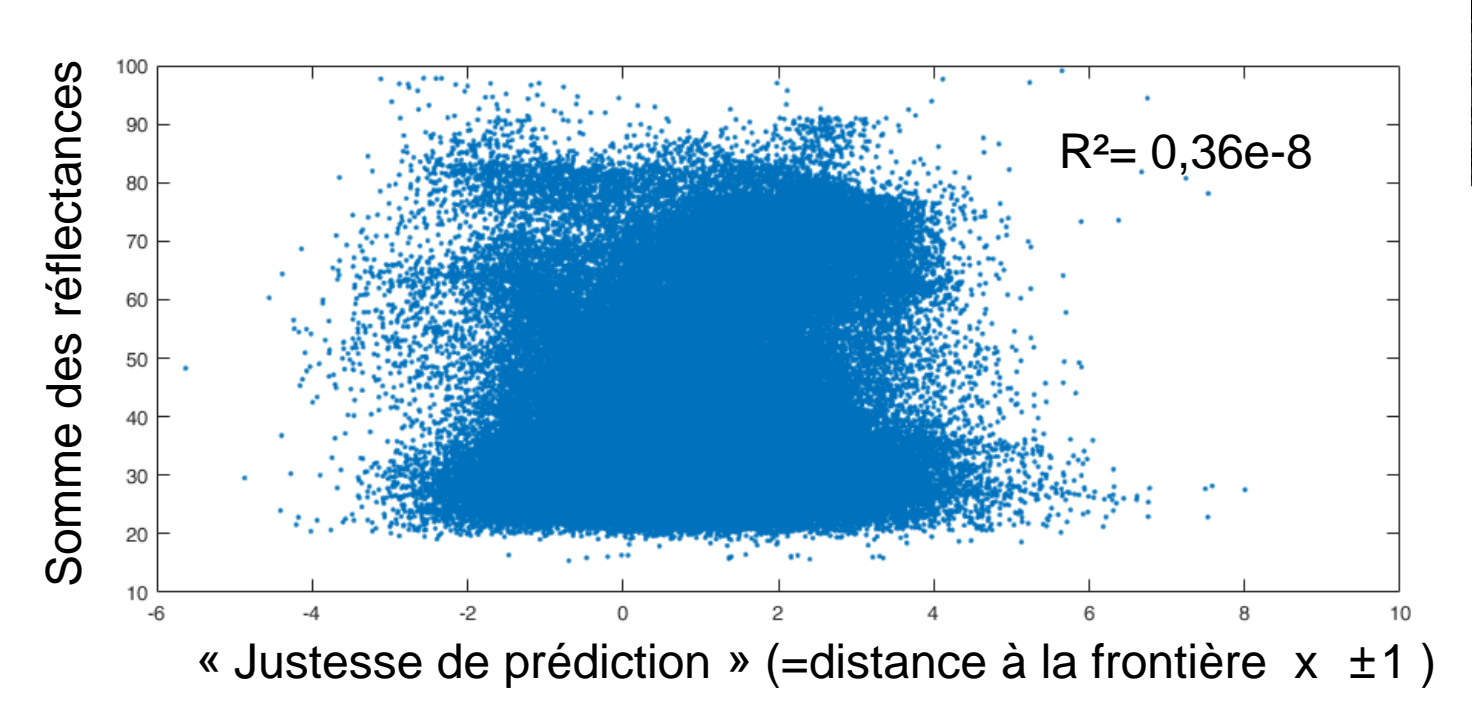


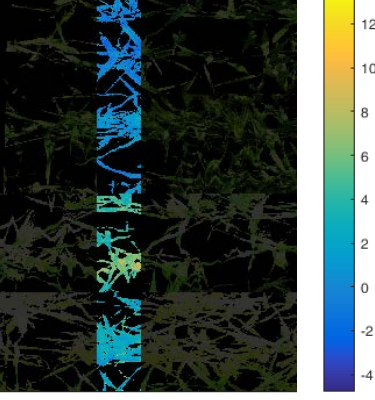


Discrimination de 2 variétés

Application de la discrimination

Prédiction de la distance à la frontière





Discrimination de 2 variétés

CapHorn et Hysun en cultures pures

100000 px/image (les + lumineux)

| Date | Pourcentage de pixels bien classés | | |
|-------|------------------------------------|------|------|
| | M1 | M2 | M3 |
| 10/03 | 82.4 | 79.2 | 59.2 |
| 02/04 | 87.1 | 83.3 | 64.3 |
| 30/04 | 93.8 | 93.5 | 63.6 |

3 dates de mesure (2015):

10 mars (Epi 1 cm)



02 avril (Montaison)



30 avril (épiaison)

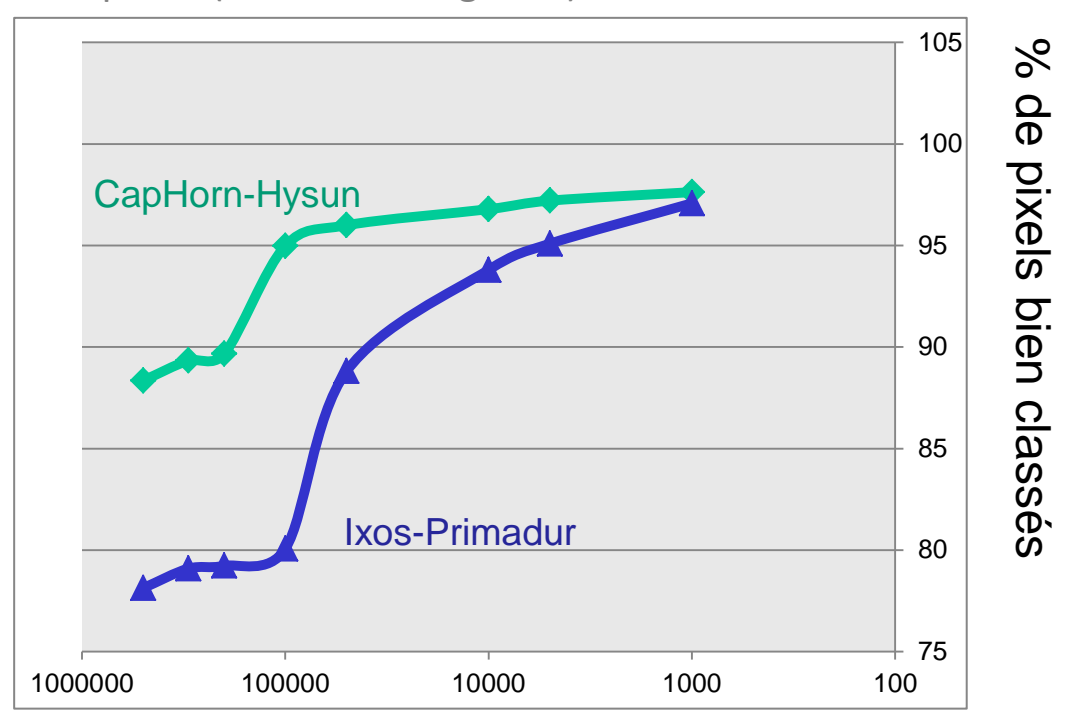




Discrimination de 2 variétés

Application de la discrimination

Influence de la luminance du pixel (Echantillonnage M1)



Nombre de pixel les plus lumineux conservé par image (Etal. + Val.)





Conclusion

- Présence d'un signal permettant de discriminer les variétés
- Difficile d'avoir un modèle robuste
- Modèle ok sur les feuilles les + éclairées



Conclusion et Perspectives

Ouf, c'est bientôt le repas.

- Discrimination opérationnelle sur les grains
- Définir un seuil de distance pour accepter une prédiction
- Discrimination sur les feuilles: efficace très localement
- Effet du mélange pas encore pris en compte



Validation par marquage moléculaire

Merci pour votre attention

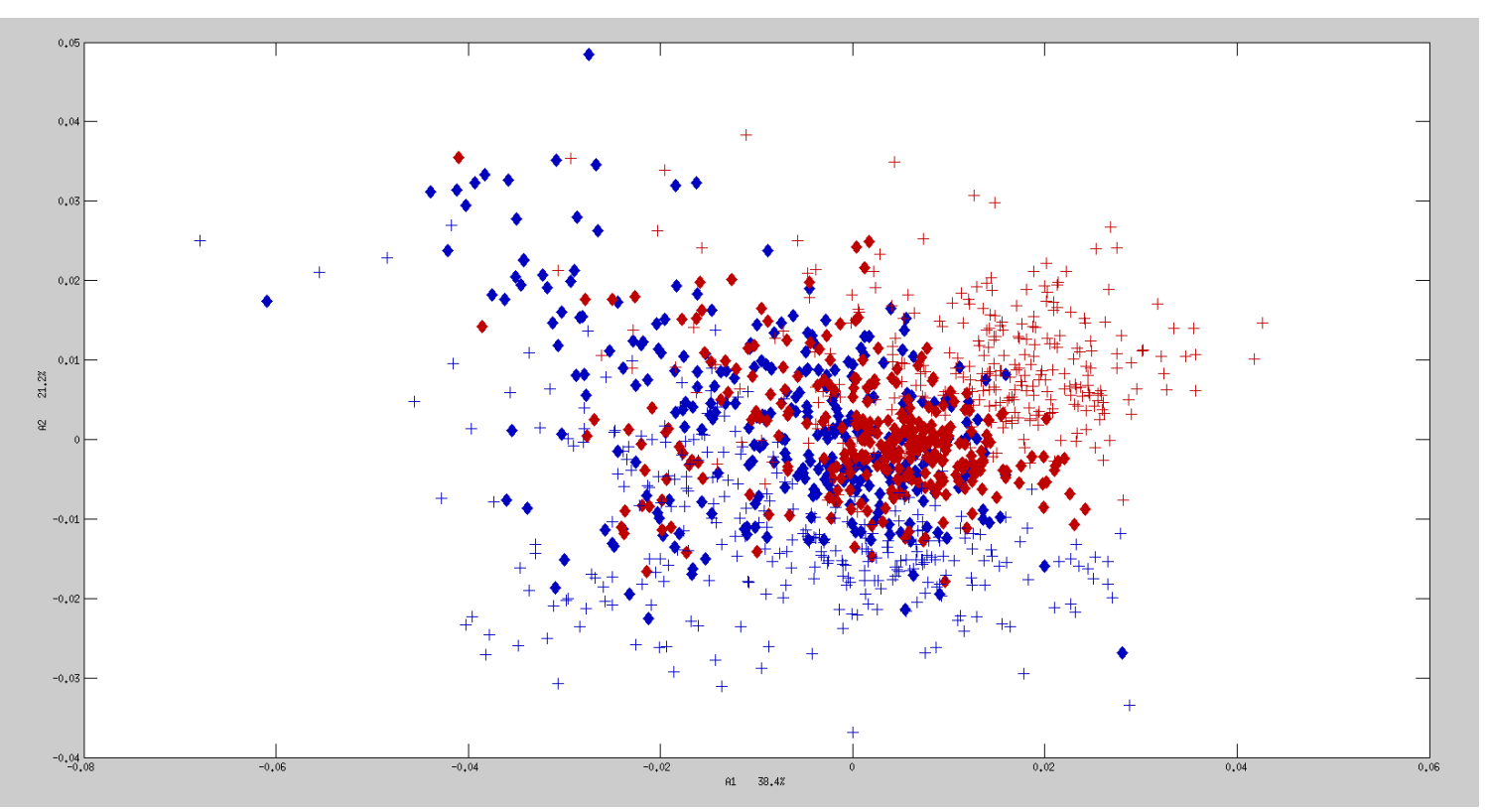


Merci pour votre attention



Imagerie Hyperspectrale

Répartition spectrale des pixels de feuilles Parcelles mono-génotypes



- ♦ Répétition 1
- + Répétition 2

IXOS

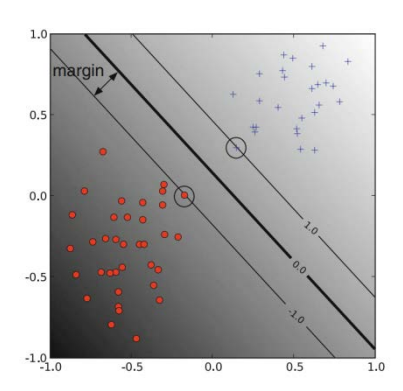
PRIMADUR

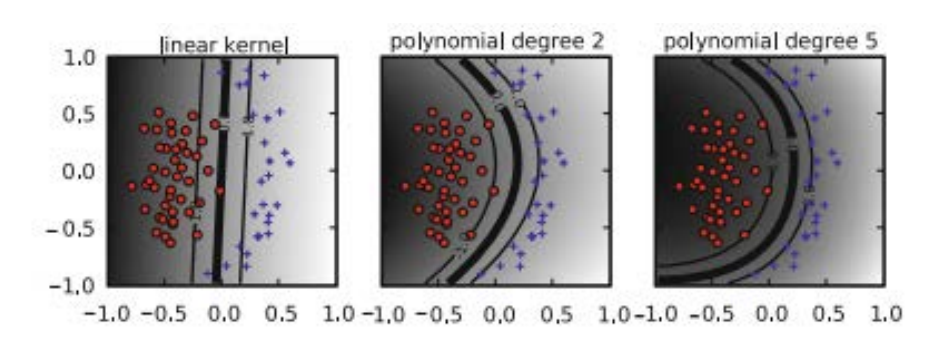


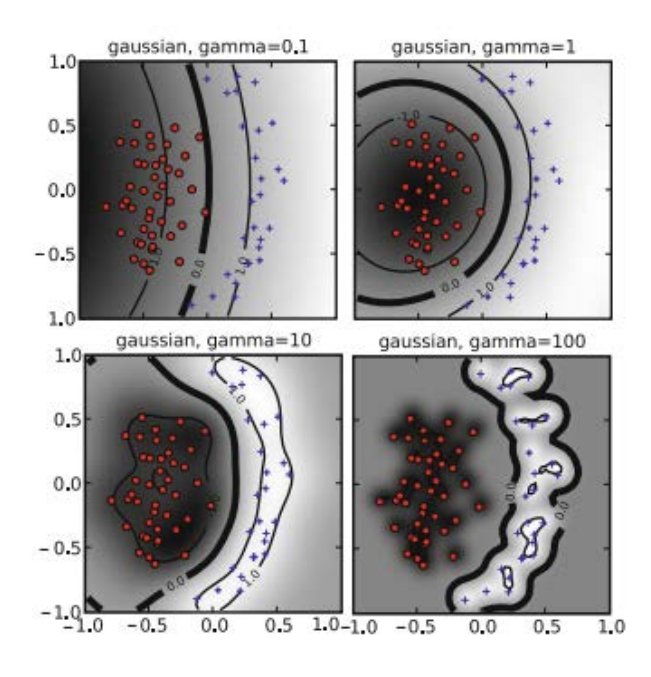
Méthodologie

Support Vector Machines (SVM) (Boser, Guyon & Vapnik; 1992)

Bonne introduction : Ben-Hur, Weston, 2010







Pour aller plus vite -> SVM sur scores PLS-DA

